



Universidade Federal de Santa Catarina – UFSC
 Centro Tecnológico – CTC
 Departamento de Automação e Sistemas – DAS
 Disciplina DAS 5109 – Modelagem e Simulação de Processos
 Prof. Marcelo De Lellis Costa de Oliveira

Experimento de laboratório 1:
 Controle de painel fotovoltaico com conversor CC-CC *buck*
 (atualizado em 8 de março de 2023)

1 Introdução

Neste experimento iremos modelar, simular e controlar a operação de um painel fotovoltaico por meio de um conversor eletrônico CC-CC do tipo *buck* (rebaixador de tensão). O circuito do modelo ideal (sem perdas) do conversor é apresentado na Fig. 1. Nesse dispositivo, que pode ser considerado como o *atuador* no problema em questão, a chave (geralmente um IGBT, *insulated-gate bipolar transistor*) é acionada por um sinal PWM (*pulse width modulation*). Se considerarmos o sinal de chaveamento $D(t) \in \{0,1\} \subset \mathbb{N}$ tal que 0 e 1 significam chave aberta e fechada, respectivamente, teremos um comportamento de *modelo chaveado* do conversor em questão; por outro lado, se considerarmos $D(t) \in [0,1] \subset \mathbb{R}$ como a fração de tempo em que a chave permanece fechada (razão cíclica, ou *duty cycle* do sinal PWM), teremos o comportamento de *modelo médio* desse sistema dinâmico.

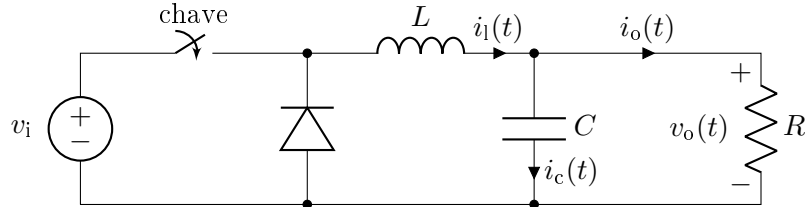


Figura 1: Circuito de um conversor CC-CC *buck* ideal para o controle de tensão sobre uma resistência R .

É possível demonstrar que o modelo dinâmico do conversor *buck* é descrito pelo conjunto de EDOs

$$\begin{cases} \frac{di_l(t)}{dt} = D(t) \frac{v_i}{L} - \frac{v_o(t)}{L} \\ \frac{dv_o(t)}{dt} = \frac{i_l(t)}{C} - \frac{v_o(t)}{RC} \end{cases} \quad (1)$$

A derivação desse modelo pode ser vista na apostila da disciplina ou, em maiores detalhes, no livro de Barbi (2015). Tenha em mente que a resistência R :

- caso seja um elemento *passivo*, consumirá energia no circuito e portanto será uma *carga*, com $R > 0$;
- por outro lado, caso seja um elemento *ativo*, injetará energia no circuito e portanto atuará como uma *fonte* tal que, *para fins de modelagem*, considera-se $R < 0$.

Um modelo algébrico bastante simples de uma célula fotovoltaica é apresentado na Fig. 2, em que V é a tensão sobre a célula fotovoltaica e I é a corrente (resultante) que circula por ela. Além disso, I_{pv} , I_d e I_p são as correntes fotovoltaica, do diodo e do resistor *shunt* (paralelo) R_p , respectivamente. Aplicando a lei de Kirchoff dos nós entre a resistência série R_s e os demais componentes obtém-se

$$I_{pv} - I_d - I_p - I = 0. \quad (2)$$

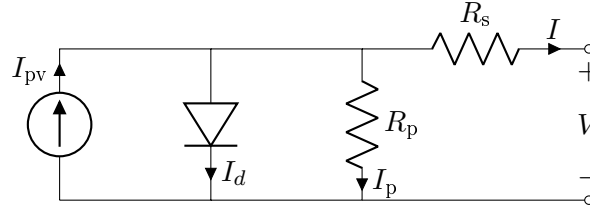


Figura 2: Circuito de uma célula fotovoltaica. Adaptado de Can (2013).

Segundo Can (2013), as correntes nos três elementos em paralelo no modelo da célula fotovoltaica são:

$$I_{pv} = \frac{G}{G_n} [I_{scn} + K_i(T - T_n)] \quad (3a)$$

$$I_d = I_s \left[\exp \left(\frac{V + R_s I}{V_t A} \right) - 1 \right] \quad (3b)$$

$$I_p = \frac{V + R_s I}{R_p}, \quad (3c)$$

em que G é a irradiação solar, T é a temperatura da célula¹, G_n e T_n são os valores nominais das respectivas grandezas, I_{scn} é a corrente nominal de curto-circuito, e K_i é o coeficiente de temperatura da corrente de curto-circuito. Note que a expressão de I_p pode ser obtida aplicando a lei de Kirchhoff das malhas. No modelo da corrente do diodo, I_s é o seu valor de saturação², A é o fator de idealidade do diodo e

$$V_t = \frac{kT}{q} \quad (4)$$

é a tensão térmica, tendo em vista que $q = 1,602 \cdot 10^{-19}$ C é a carga do elétron e $k = 1,38 \cdot 10^{-23}$ J/K é a constante de Boltzmann. Um resumo dos parâmetros (já identificados) dos modelos do conversor *buck* e da célula fotovoltaica é apresentado na Tab. 1.

Símbolo	Descrição	Valor
Conversor <i>buck</i>		
R	resistência de carga (sem célula fotovoltaica)	1 Ω
L	indutância	1 mH
C	capacitância	800 μ F
v_i	tensão de entrada	1 V
f_s	frequência de chaveamento do sinal PWM	2 kHz
célula fotovoltaica		
R_p	resistência paralela (<i>shunt</i>)	38,17 Ω
R_s	resistência série	61,3 m Ω
A	fator de idealidade do diodo	1,7538
I_s	corrente de saturação do diodo (valor nominal)	5,68 μ A
I_{scn}	corrente de curto-circuito nominal	3,1656 A
G_n	irradiação solar nominal	1 kW/m ²
T_n	temperatura nominal da célula fotovoltaica	25°C
K_i	coeficiente de temperatura da corrente de curto-circuito	1,8 mA/°C

Tabela 1: Parametrização do sistema fotovoltaico.

Quando a célula fotovoltaica é acoplada ao *buck*, a resistência R representada na Fig. 1 passa a ser a resistência equivalente da célula, determinada como

$$R = \frac{v_o}{i_o} = \frac{V}{-I}. \quad (5)$$

¹que, na prática, varia em função de G .

²Na verdade, I_s depende da temperatura T .

Sendo I função de V de acordo com (3), veja que o modelo do sistema formado pelo *buck* e célula fotovoltaica passar a ser variante no tempo, dado que agora temos $R(t)$. Isto representa uma grande dificuldade em termos de controle de tensão sobre a célula fotovoltaica, pois o estudo de estabilidade com base na teoria de sistemas LTI (*linear time-invariant systems*) não mais se aplica.

Ao longo deste experimento consideraremos apenas uma célula fotovoltaica por simplicidade, mas na prática elas são acopladas em série em *painéis fotovoltaicos* para que se obtenha uma tensão significativa do conjunto. Para verificar exemplos comerciais, visite, por exemplo, o *site* da empresa Neosolar (2021).

2 Exercícios

2.1 Trabalho numérico

Célula fotovoltaica

Sabe-se que a potência gerada pela célula fotovoltaica é $P = V I$.

1. Determine as curvas $I(V)$ e $P(V)$ para dois cenários.

- (a) Com $G = G_n$ e os seguintes valores de T : 0°C ; 25°C e 60°C .
- (b) Com $T = T_n$ e os seguintes valores de G : 200 W/m^2 ; 500 W/m^2 e 1 kW/m^2 .

Observe que (2) é uma equação transcendental em I , ou seja, não é possível encontrar uma solução fechada (analítica) para I . Portanto, vamos lançar mão de um método numérico. Como uma alternativa ao uso da função `fzero()` no Matlab, vamos exercitar o *método do subrelaxamento* (HEGDE, 2018). Primeiro, vamos reescrever (2) como

$$I = I_{pv} - I_d - I_p. \quad (6)$$

Definindo $0 < \lambda < 1$ como o fator de relaxamento, o método iterativo aplicado ao problema em questão pode ser representado pelo seguinte pseudo-código:

```
while valor absoluto da variação da solução > tolerância do
     $I_{\text{antigo}} = I_{\text{novo}}$ 
     $I_{\text{novo}}$  = resultado de (6) utilizando  $I_{\text{antigo}}$  (no lado direito).
     $I_{\text{novo}} = \lambda I_{\text{novo}} + (1 - \lambda) I_{\text{antigo}}$ 
    variação da solução =  $I_{\text{novo}} - I_{\text{antigo}}$ 
end while
```

Atenção: limite o domínio (valores de V) das funções ao intervalo em que a potência da célula é majoritariamente positiva (ou seja, em que ela gera energia, em vez de consumir).

- 2. No contexto do item 1, para um ponto (V, I) de sua escolha, com o objetivo de evidenciar a velocidade de convergência do método iterativo de subrelaxamento, apresente sobrepostos dois gráficos de I_{novo} em função da iteração k , obtidos com valores distintos de λ .
- 3. Com base em artigos científicos, a exemplo do trabalho de Rustemli e Dincer (2011), tente propor um modelo para a dependência da corrente de saturação I_s do diodo na temperatura T .

Buck com célula fotovoltaica

- 4. Implemente o modelo do conversor *buck* acoplado à célula. Utilizando condições iniciais favoráveis³, apresente resultados de malha *aberta* para um degrau $D(t) = 0.3$, ou seja, considerando o modelo médio do *buck*.

³Note que $v_o(0) = 0$ pode gerar problemas numéricos.

5. Projete um controlador para $v_o(t) = V(t)$ que atue em $D(t)$. Apresente resultados de malha *fechada* considerando condições favoráveis e uma referência $v_{\text{ref}} = 0.2 \text{ V}$. *Dica:* se necessário, considere uma ação derivativa no controlador para melhorar a estabilidade, mas não se esqueça de verificar a factibilidade da ação de controle.
6. Implemente um algoritmo de rastreamento de ponto de máxima potência (MPPT) do tipo *perturba-e-observa* (P&O), conforme apresentado, por exemplo, por Nedumgatt et al. (2011). Mostre como o algoritmo funciona por meio de um fluxograma⁴. Para isso defina um passo que julgar razoável na tensão de referência, $v_{\text{ref}}(t)$, a qual será imposta pelo algoritmo P&O ao sistema de controle. Apresente resultados de simulação em um cenário em que o sistema parte de $v_{\text{ref}} = 0$ com variação senoidal (por simplicidade) em $G(t)$ que reflita o comportamento dessa perturbação ao longo do período iluminado de um dia (entre 6h e 18h, por exemplo).

Referências

BARBI, I. *Modelagem de Conversores CC-CC empregando Modelo Médio em Espaço de Estados*. [S.l.]: (edição do autor), 2015. ISBN 978-85-901046-9-8.

CAN, H. Model of a photovoltaic panel emulator in MATLAB-Simulink. *Turkish Journal of Electrical Engineering & Computer Sciences*, v. 21, p. 301–308, 2013. Disponível em: <<https://doi.org/10.3906/elk-1105-29>>.

HEGDE, S. *AML702 Applied Computation Methods - Lecture 11 - Iterative Methods - Gauss-Seidel Method - Jacobi Method*. 2018. Indian Institute of Technology, Delhi. Disponível em: <https://web.iitd.ac.in/~hegde/acm/lecture/L11_system_of_eqns_iterative_methods.pdf>.

NEDUMGATT, J. J. et al. Perturb and observe mppt algorithm for solar pv systems-modeling and simulation. In: *2011 Annual IEEE India Conference*. Hyderabad, India: IEEE, 2011. p. 1–6. Disponível em: <<https://doi.org/10.1109/INDCON.2011.6139513>>.

NEOSOLAR. *Painéis solares fotovoltaicos*. 2021. Disponível em: <<https://www.neosolar.com.br/loja/painel-solar.html>>.

RUSTEMLI, S.; DINCER, F. Modeling of photovoltaic panel and examining effects of temperature in matlab/simulink. *Electronics and Electrical Engineering*, v. 109, n. 3, 2011. ISSN 1392 – 1215. Elektronika ir elektrotechnika. Disponível em: <<http://dx.doi.org/10.5755/j01.eee.109.3.166>>.

⁴É possível aproveitar fluxogramas da literatura desde que a fonte seja devidamente citada.